

بررسی ساختاری و تأثیر تغییر سبیرای سازند قم بر هندسه ساختارها منطقه دخان در باخت ساوه

صادیقه خدابوست^۱، محمد محجل^{۲*} و سعید حاجامینی^۳

^۱ کارشناسی ارشد، گروه زمین‌شناسی، دانشگاه تربیت مدرس، تهران، ایران

^۲ دانشیار، گروه زمین‌شناسی، دانشگاه تربیت مدرس، تهران، ایران

^۳ استادیار، گروه زمین‌شناسی، پردیس علوم، دانشگاه تهران، تهران، ایران

تاریخ پذیرش: ۱۳۹۱/۰۶/۱۳ تاریخ دریافت: ۱۳۹۰/۰۸/۲۳

چکیده

سازند قم در ایران مرکزی با رخساره سنگی مجیط دریایی در میان دو سازند تخریبی قاره‌ای سرخ پایین و سرخ بالا قرار دارد. ستون چینه‌سنگی کامل آن از منطقه قم گزارش شده و به این نام نیز خوانده شده است. ولی بیشترین سبیرای سازند قم با تغییرات جانی در نوع رخساره، از منطقه دخان در باخت ساوه گزارش شده است. بررسی‌های چینه‌شناسی سازند قم در این منطقه نشان داده است که سبیرای آن در فاصله‌های کوتاه به شدت تغییر می‌باشد. در این مطالعه مشخص شد که هندسه ساختارهای موجود در منطقه متأثر از تغییر سبیرای واحدهای سنگی موجود در سازند قم هستند. همچنین تغییر شدید سبیرای این سازند دریایی در منطقه دخان با سازوکار گسل‌های اصلی منطقه تفسیر شده است. مطالعه هندسه سازوکار گسل‌های بزرگ در منطقه دخان مشخص ساخت که نوع جابه‌جایی آنها در تغییر سبیرای سازند قم در زمان رسوب گذاری و سپس در نوع چین خوردگی در زمان تغییرشکل نقش بسیار داشته است. این بررسی روش ساخت که در زمان رسوب گذاری سازند قم، منطقه دخان به دلیل قرار گرفتن در پایانه شمال باختی گسل‌های امتدادلنز اصلی منطقه شامل گسل‌های تفرش، تلخاب و ایندوس با راستای شمال باخت - جنوب خاور تحت تأثیر کشش بوده است.

کلیدواژه‌ها: سازند قم، دخان، باخت ساوه، گسل‌های امتدادلنز، چین خوردگی.

*نویسنده مسؤول: محمد محجل

E-mail: Mohajjel@modares.ac.ir

۱- پیش‌گفتار

پس از یک دوره رسوب گذاری کولاوی - قاره‌ای در الیگومن زیرین که سبب نهشته شدن رسوبات سازند قرم زیرین شد، در الیگومن میانی - پسین و میوسن زیرین برای آخرین بار دریا پیشروی کرد و بخش‌هایی از ایران را فرا گرفت. پیشروی دریا از جنوب خاور آغاز شده و احتمالاً تا اواخر الیگومن (شاتین) ادامه پیدا کرده است. رسوبات سازند قم معادل زمانی رسوبات سازند آسماری در زاگرس است. به دلیل تغییرات شدید رخساره و سبیرا در فواصل افقی کوتاه، این سازند برش الگو ندارد بلکه برای آن ناحیه الگو در نظر گرفته‌اند. بروونزدهای این سازند در کوه میل - دوچاه، کمرکوه، ایداجی، کوه نرداقی، قیز تختی، کوه سفید و نیل به عنوان ناحیه الگو، سورد بررسی و مطالعه قرار گرفته‌اند. (A, B, C, D, E, F) در ناحیه قم این سازند را به ۶ عضو (C1-C4) تقسیم کردند. (Furrer & Soder 1995) تقسیم کردند. (Abaie et al. 1964) عضو C را به ۴ بخش (C1-C4) تقسیم کردند. بدین ترتیب این سازند دارای ۹ عضو است که عبارتند از: a, b, c₁, c₂, c₃, c₄, d, e, f در سازند قم مرز چینه‌شناسی مشخص وجود دارد. این مرزها میان واحدهای C₂-C₃ و d-e-f قرار دارند و شامل رسوبات تبخیری مانند گچ و نمک هستند. تفاوت‌های آشکاری میان نهشته‌های سازند قم در ناحیه الگو (ارتفاعات باخت و جنوب باخت شهر قم) و منطقه مورد مطالعه وجود دارد. سبیرترين نهشته‌های سازند قم از منطقه امچک - دخان گزارش شده است. سبیرای سازند قم در تاقدیس دخان در جنوب روستای دخان، ۳۶۱۳ متر (وحدتی داشتمد، ۱۳۵۴) و در کوه امچک که در جنوب خاور این تاقدیس قرار دارد، ۲۳۰۰ متر (امامی، ۱۳۷۰) گزارش شده است. در حالی که این سازند در ناحیه الگو حدود ۱۳۰۰ متر سبیرا دارد. سازند قم در ناحیه دخان بر پایه سنگ‌شناسی به ۴ بخش تقسیم می‌شود که از بالا به پایین عبارتند از: M_a: بیشتر کنگلومرا و کمتر ماسه سنگ و سیلیستون؛ M_b: مارن‌های خاکستری و سیزرنگ؛ M_c: آهک ریفی؛ M_d: تناوب مارن و آهک که در بخش‌های بالای مارن بیشتر می‌شود. این بخش سبیرترين عضو سازند قم است که در تاقدیس دخان سبیرای آن به تنها بیش از ۳۶۰۰ متر است. افزون بر این قاعده این عضو سازند قم

منطقه دخان در ۸۴ کیلومتری باخت شهر ساوه در جنوب روستای دخان و در محل تلاقی چهار نقشه زمین‌شناسی ۱:۱۰۰۰۰ رزن (علایی مهابادی و فردآزادی، ۱۳۸۶)، فرمین (رادفر و همکاران، ۱۳۸۵)، وفس (رادفر و کهنسال، ۱۳۸۳)، نویران (علایی مهابادی و خلعتبری، ۱۳۸۳) و نقشه‌های زمین‌شناسی با مقیاس ۱:۲۵۰۰۰ (امامی و حاجیان، ۱۳۷۰)، ساوه (نوگل سادات و همکاران، ۱۳۶۴) همدان (سبزه‌ای و همکاران، ۱۳۶۹) و کبودرآهنگ (بلورچی و حاجیان، ۱۳۵۸) قرار گرفته است. این منطقه در مرز پهنه آتش‌شانی ارومیه - دختر با پهنه دگ‌گونی سنتند - سیرجان قرار دارد و بیشترین بروونزدهای منطقه مربوط به سازند قم است (شکل ۱). اطلاعات چینه‌شناسی بیانگر افزایش شدید سبیرای سازند قم در منطقه دخان است. به گونه‌ای که بیشترین سبیرای اندازه‌گیری شده از رسوبات دریایی الیگومن - میوسن مربوط به این منطقه و بیش از ۳۶۰۰ متر است. وحدتی داشتمد (۱۳۵۴) نخستین بار سبیرای بسیار زیاد و تغییرات آن را گزارش کرد. افزایش سبیرای سازند قم در منطقه دخان ناگهانی بوده و در فواصل افقی در فاصله‌های کوتاه رخ داده است. به طور کلی ژرف شدن و یا کم ژرف شدن حوضه‌های رسوی متأثر از دو عامل تغییرات جهانی سطح آب (Eustacy) یا بالا و پایین رفتن کف حوضه از زمان تنشست رسوبات، فضای رسوب گذاری (Accommodation Zone) را فراهم کرده است. بنابراین نقش گسل‌های بزرگ منطقه دخان می‌تواند بسیار تعیین کننده باشد. حضور گسل‌های بزرگ در پیرامون منطقه دخان سبب شد تا با مطالعه سازوکار آنها، ارتباط آنها با تغییرات سبیرای سازند قم در منطقه دخان بررسی شود. در این بررسی با معرفی ساختار منطقه، تأثیر تغییر سبیرای واحدهای منطقه سازند قم در هندسه ساختارهای منطقه، نقش گسل‌های اصلی در تغییرات سبیرای سازند قم و هندسه چین خوردگی آنها در منطقه دخان مورد ارزیابی قرار گرفته است.

- گسل تقوش: نقشه‌های زمین‌شناسی ۱:۱۰۰۰۰ فرمهین (رادفر و همکاران، ۱۳۸۵) و ۱:۲۵۰۰۰ قم (امامی و حاجیان، ۱۳۷۰) نشان می‌دهند که گسل تفرش با طول تقریبی ۴۳ کیلومتر، از باخته شهر تفرش تا رستای طریزآباد در بخش جنوبی کوه امیجک ادامه دارد. ولی این گسل به شکل دواخنه، در شمال باخته رستای طریزآباد با امتدادهای تقریبی N۱۴۰° و N۱۱۵° ادامه دارد که در این پژوهش معروف و برداشت شد (شکل ۶-الف) که به ترتیب اولین شاخه گسل به تقادیس دخان می‌رسد و شاخه دوم آن تازنديکی رستای تجرک، در ۲۵ کیلومتری شهر فامنین ادامه می‌یابد. روند کلی گسل تفرش، شمال باخته-جنوب خاوری است و از آن در ۵ ایستگاه، برداشت ساختاری صورت گرفته است.

از پهنه گسل تفرش تقریباً در همه طول گسل برداشت ساختاری صورت گرفته است. بر پایه مشاهدات صحراوی و تحلیل‌های آماری، امتداد چیره گسل تفرش N۱۳۰ تا N۱۵۰ و شب آن تقریباً در همه برداشت‌ها بیش از ۵۰ درجه و به سوی SW است (شکل ۷-ب). بر پایه زاویه میل خشن لغزش گسل تفرش (شکل ۷-ج) و موقعیت محورهای فشار و کشش آن (شکل ۷-د)، به نظر می‌رسد مؤلفه راستالغز گسل تفرش راست گرد گسل تفرش را تأیید می‌کند (شکل ۸-الف). در پهنه مؤلفه راستالغز راست گرد گسل تفرش را تأیید می‌کند (شکل ۸-الف). در پهنه گسل تفرش ۳۶ صفحه گسلی خشن دار اندازه گیری شده است که با توجه به داده‌های برداشت شده، جهت‌های اصلی تنش برای هر صفحه گسلی با استفاده از روش تعیین موقعیت محورهای P و T معین شده و میانگین برداری آنها نیز بدست آمده است (شکل ۷-د). میانگین برداری محورهای تنش گسل تفرش بدین شرح است:

(T: 03/318, P: 07/227).

- گسل تلخاب: گسل تلخاب با طول تقریبی ۱۰۰ کیلومتر و امتداد کلی N۱۳۰° مرز رسبات ژوراسیک و کرتاسه (پهنه انتقالی هفتاد قله) را با سنجک‌های آتشفسانی اوسن (پهنه ارومیه دختر) تشکیل می‌دهد (شکل‌های ۱ و ۶-الف). در بخشی از بخش شمال باخته گسل تلخاب، رسبات سازند قم بروزند دارد. گسل تلخاب از خاور شهر اراک آغاز می‌شود و تا شمال خاور کمیجان ادامه می‌یابد. از گسل تلخاب در ۲ ایستگاه برداشت صورت گرفته و به برداشت از بخش شمالی آن اکتفا شده است.

از پهنه گسل تلخاب در ۲ ایستگاه، ۳۹ صفحه گسلی اندازه گیری شد که بر پایه برداشت‌های ساختاری و تحلیل آماری، امتداد کلی گسل تلخاب N۱۳۰° و شب آن بیش از ۸۰° است (شکل ۸-ب). سوی شب گسل در اندازه گیری ها نوسان کمی دارد ولی در کل شب آن به سوی شمال خاور است. زاویه میل خشن لغزش گسل تلخاب و موقعیت محورهای تنش آن (شکل‌های ۸-ج و ۸-د)، نشانگر بزرگ بودن مؤلفه راستالغز گسل تلخاب است. در پهنه گسل تلخاب در مجموع ۳۷ صفحه گسلی دارای خشن لغزش اندازه گیری شد. موقعیت بردارهای میانگین محورهای اصلی تنش گسل تلخاب بر پایه داده‌های صحراوی بدین شرح است:

(T: 03/318, P: 07/227).

- گسل ایندس: گسل ایندس با امتداد کلی N۱۳۰° و طولی بیش از ۱۲۰ کیلومتر، از ۴۴ کیلومتری باخته شهر قم آغاز می‌شود، از شهرهای غرق آباد و نوبران عبور می‌کند و تا ۸۳ کیلومتری شمال خاور شهر فامنین ادامه می‌یابد (شکل ۶-الف). گسل ایندس مشکل از مجموعه‌ای از گسل‌ها است که در نقشه ۱:۱۰۰۰۰۰ فرمهین به نام گسل ایندس، در نقشه ۱:۱۰۰۰۰ نوبران به نام گسل نوبران و در نقشه ۱:۱۰۰۰۰ رزن به نام گسل مرغ آباد خوانده می‌شود. همان‌گونه که پیش تر اشاره شد، منطقه مورد مطالعه در محل برخورد این ۴ نقشه قرار گرفته است. قرار دادن نقشه‌ها در کنار هم و ادغام آنها نشان می‌دهد که این گسل‌ها هم‌راسته هستند و در امتداد هم قرار دارند. گسل ایندس در نقشه ۱:۱۰۰۰۰ نوبران از درون آبرفت‌ها عبور می‌کند و همان‌گونه که در شکل ۱ دیده می‌شود، رودخانه مزلقان در بخشی از مسیر خود در

در تقادیس دخان رخمنون ندارد و بخش‌های بالای آن نیز در اثر فرسایش از میان رفته است، زیرا اثری از فسیل *Neoalveolina melo curdica* که شاخص بالاترین بخش‌های سازند قم است دیده نمی‌شود. سن سازند قم در منطقه دخان در مجموع آکی تانین -بور دیگالین پیشین است (وحدتی دانشمند، ۱۳۵۴). ستبرای سازند قم نیز در منطقه دخان در فواصل کوتاه به شدت تغییر می‌کند. چنانچه این ستبرای در فاصله‌ای کمتر از ۱۰ کیلومتر، از ۳۶۱۳ متر در تقادیس دخان، به ۷۰۰ متر در میچینک (شمال تقادیس دخان) و ۳۷۰ متر در خاور گراوند در جنوب باخته تقادیس دخان می‌رسد (شکل ۲؛ محل اندازه گیری مقاطع چینه شناسی در شکل ۱ آمده است). این ستبرای در فواصل دورتر از دخان نیز متغیر است (شکل ۳).

۳- ساختارهای منطقه دخان

گسل‌های بزرگ تفرش، تلخاب و ایندس منطقه دخان را دربر گرفته‌اند. همچنین چین‌هایی مانند تقادیس دخان، تقادیس گراوند، ناودیس بندچای و ناودیس سمردشت نیز در منطقه دخان وجود دارند. شکل ۴ بر پایه تصاویر ماهواره‌ای و برداشت‌های صحراوی تهیه شده است و اندازه گیری‌های صورت گرفته از گسل‌های پیرامون منطقه دخان اعم از تلخاب، تفرش، ایندس و دیگر گسل‌ها به شکل محدوده‌هایی با حروف لاتین در این نقشه محل برداشت رخمنون گسل‌ها را به نمایش می‌گذارد. بزرگ از A تا L مشخص است. افزون بر این بردار میانگین محور فشارش (P) در هر ایستگاه به طور مجزا بدست آمده است. برای به تصویر کشیدن بردارها با رعایت مقیاس، اندازه بردار میانگین ایستگاه‌های N, M, C, به دلیل صرف بودن زاویه میل بردار، مبنای فرض شده است و برای ایستگاه‌های دیگر مقدار بردار فشارش مبنای در کسینوس زاویه میل بردار p همان ایستگاه ضرب شده و به شکل پیکان روی موقعیت هر ایستگاه در شکل ۴ به نمایش درآمده است. شکل ۵ که بر پایه نقشه ۱:۲۰۰۰۰ وحدتی دانشمند (۱۳۵۴)، تصاویر ماهواره‌ای منطقه دخان و داده‌های صحراوی تهیه شده است، ساختارهای منطقه دخان را نمایش می‌دهد. در این نقشه گسل‌ها با حروف لاتین بزرگ نام گذاری شده‌اند و سازوکار برخی از آنها در نقشه مشخص شده است.

۳-۱. چین‌ها

قادیس دخان گسترده‌ترین ساختار موجود در منطقه است (شکل ۵)، که گسترش رسبات در یال شمالی آن کامل تر و دست نخورده‌تر است. در حالی که در یال جنوبی آن، این رسبات به شدت دچار گسلش شده‌اند. ستبرای ۳۶۰۰ متری سازند قم در یال شمالی همین تقادیس اندازه گیری شده است (وحدتی دانشمند، ۱۳۵۴). این تقادیس میل محور دوگانه دارد و بر پایه اندازه گیری‌ها، محور آن دارای روند تقریبی N۳۰۰۲° و میل محور ۱۴۰° به سوی جنوب خاور و ۷۰° به سوی شمال باخته است. تقادیس گزآون در جنوب خاور تقادیس دخان قرار دارد و نسبت به تقادیس دخان گسترش کمتری دارد. ناحیه لولایی آن بارها به وسیله گسل‌های C, D و E بریده و جایه‌جا شده است به گونه‌ای که روند اثر سطح محوری آن از N۰۸۶ در خاور گسل E به N۲۹۳۰ در باخته گسل D می‌رسد. ناودیس بندچای در میان تقادیس‌های گزآون و دخان قرار گرفته است و اثر سطح محوری آن روند کلی خاوری-باخته دارد. ناودیس سمردشت در بخش جنوبی تقادیس گزآون قرار دارد و اثر سطح محوری آن نیز مانند دیگر ساختارهای نیمه جنوبی منطقه، بارها بریده و جایه‌جا شده است. روند اثر سطح محوری این ناودیس N۲۹۰° است.

۳-۲. گسل‌ها

گسل‌های بزرگ تفرش، تلخاب و ایندس در پیرامون ناحیه دخان دیده می‌شوند (شکل ۶-الف). در برداشت‌های صحراوی، گسل‌های منطقه و نیز ساختارهایی که به نظر می‌رسید در تحلیل ساختاری پایانی مؤثر باشدند، در چندین ایستگاه برداشت شدند. گسل‌های تفرش و ایندس هر کدام در ۱۵ ایستگاه و گسل تلخاب در ۲ ایستگاه بررسی شدند. برداشت‌های صورت گرفته از هر گسل جداگانه ارائه خواهد شد.

حرکت راست گرد هر دو گسل تفرش و ایندس تحت تأثیر برش راست گرد حاکم بر منطقه همپوشانی، اثر سطح محوری برخی چین‌ها مانند ناویدیس مرق، ناویدیس سمردشت و گسل عزالدین شکل S دارد، ولی روند برخی دیگر از ساختارهای منطقه مانند تاقدیس دخان و تاقدیس کهلو با گسل‌های تفرش و ایندس موازی است. اکنون این پرسش مطرح است که چرا همه ساختارهای میان این دو گسل دچار چرخش نشده‌اند بلکه برخی موازی روند گسل‌های تفرش و ایندس هستند؟ حضور تنفس عادی تأثیرگذار همراه با تنفس برخی در محل همپوشانی، می‌تواند بهترین پاسخ برای این پرسش باشد. پیش از این، روند میانگین برداری محورهای فشارش برای منطقه مورد مطالعه^{N208°} و روند عمومی گسل‌ها^{N130°} اعلام شد. برای مشاهده نتیجه وارد آمدن فشاری با موقعیت یادشده به سطحی با موقعیت روند عمومی گسل‌ها، شکل ساده تهیه شده است (شکل ۱۱-الف). بر پایه آنچه که در شکل ۱۰-الف دیده می‌شود میانگین برداری محورهای فشارش منطقه مورد مطالعه، زاویه میل ۲۱° دارد. برای به نمایش درآوردن آن در تصویر ۱۱-الف، طول بردار P مبنای (یک) فرض و با توجه به زاویه میل، مؤلفه‌های آن اندازه گیری شده است. همچنین شیب عمومی گسل‌ها برای آسانی کار، ۹۰° در نظر گرفته شده است. از تجزیه نیروهای وارد بر این سطح به مؤلفه‌هایش، دو بردار حاصل می‌شود که یکی موازی سطح گسل (مؤلفه تنفس برخی) و دیگری عمود بر آن (مؤلفه تنفس فشاری) است. شکل ۱۱-الف به خوبی نشان می‌دهد اندازه بردار مؤلفه تنفس برخی، کوچکتر از اندازه بردار مؤلفه تنفس فشاری است. این مسئله نشان می‌دهد، افزون بر تنفس برخی در منطقه همپوشانی دو گسل تفرش و ایندس، تنفس فشاری تأثیرگذاری نیز حاکم است که قابل چشم پوشی نیست.

۴-۲. تأثیر اختلاف روند گسل‌ها بر تنفس در منطقه

شکل ۴ نشان می‌دهد که روند گسل‌های تفرش و ایندس کاملاً با هم موازی نیست. اگر روند کلی گسل تفرش بر پایه برداشت‌های صورت گرفته به طور میانگین N140° (شکل ۷-ب) و روند کلی گسل ایندس N130° (شکل ۹-ب) در نظر گرفته شود و تصویری ساده بر پایه آن تهیه شود، دیده می‌شود که روند دو گسل به سوی شمال باخته نسبت به هم حالت همگرایی دارد (شکل ۱۲-ب). این تصویر ساده، نشان می‌دهد تنفس برخی سطح گسل تفرش به دلیل موازی نبودن روند آن با گسل ایندس و نیز نزدیکتر بودن آن به جبهه تنفس ناشی از حرکت صفحه عربی به سوی شمال خاور، به دو مؤلفه قابل تجزیه است.

چنین به نظر می‌رسد که اختلاف روند دو گسل ایندس و تفرش سبب ایجاد تنفس فشاری دیگری در منطقه شده است. گرچه هر دو گسل تفرش و ایندس تحت تأثیر تنفس میانگین ۲۱°/۲۰۸° هستند ولی نزدیکتر بودن گسل تفرش به جبهه فشارش و همچنین اختلاف امتداد کلی گسل تفرش (N140°) نسبت به روند کلی گسل فشارهای منطقه (N130°) سبب تجزیه تنفس روی گسل تفرش شده است. بنابراین ساختارهای کناری گسل تفرش، افزون بر تنفس فشاری ناشی از تجزیه بردار میانگین P، تنفس عادی دیگری هم دریافت می‌کنند که ناشی از تجزیه تنفس برخی روی سطح گسل تفرش است. در این صورت ساختارهای محل همپوشانی این دو گسل به علت حضور تنفس مضاعف ناشی از دو عامل یادشده، همه آثار دگرگشکلی برخی را در خود حفظ نکرده‌اند. این مسئله می‌تواند دلیل دیگری برای توجیه امتداد ساختارهایی باشد که روندی موازی گسل‌های تفرش و ایندس نشان می‌دهند.

۴-۳. تنفس حاکم بر محل همپوشانی گسل‌های تفرش و ایندس

اگر چه همه ساختارهای موجود در منطقه همپوشانی دو گسل تفرش و ایندس راستای کلی شمال باخته-جنوب خاور دارند ولی راستای برخی از آنها دارای انحنایست. برای نمونه اثر سطح محوری ناویدیس مرق که تا چندین کیلومتر بیرون از منطقه مورد مطالعه ادامه دارد، دارای انتخاست و شکلی کمانند دارد. اثر سطح محوری ناویدیس سمردشت و گسل عزالدین نیز انتخنا دارد و شکلی همانند S از خود نشان

امتداد گسل ایندس جریان دارد. در اینجا به اختصار نتایج برداشت‌های انجام شده از گسل ایندس ارائه می‌شود:

با توجه به داده‌های صحرایی، امتداد کلی گسل ایندس^{N130°} و شیب آن ۷۵° است (شکل ۹-ب). سوی شیب گسل ایندس ثابت نیست. زیرا شیب آن در بخش‌های خاوری، به سوی جنوب باخته و در بخش‌های باخته به سوی شمال خاور است. با توجه به خشن لغزش گسل ایندس و موقعیت محورهای نیز آن (شکل ۹-ج و د)، سازوکار آن وارون با مؤلفه راستالغاز متوجه است. در پنهان گسل ایندس در مجموع ۹ صفحه گسلی خش دار برداشت شده است که بر پایه آنها موقعیت بردار میانگین محورهای اصلی تنفس گسل ایندس این گونه معرفی می‌شوند: (215/P : 34/T و 298/B : 32/041).

۴- تحلیل ساختاری

داده‌های ژئوفیزیکی و زمین‌شناسی به دست آمده از بخش‌های شمالی و باخته صفحه عربی و نیز داده‌های دریای سرخ و خلیج عدن (Hempton, 1987) حرکت صفحه عربی به سوی شمال-شمال خاور وجود کشش در دریای سرخ و خلیج عدن را تأیید می‌کند. بی‌هنگاری مغناطیسی ۱۰ میلیون ساله خلیج عدن نشان می‌دهد حرکت صفحه عربی به سوی جنوب باخته آسیا و دور شدن آن از ورق آفریقا در طول میوسن تا حال حاضر برقرار بوده است. محاسبات صورت گرفته، سوی حرکت صفحه عربی به سوی اوراسیا را N32° نشان می‌دهد (Cochran, 1983). حرکت صفحه عربی به سوی صفحه اوراسیا، ایران مرکزی را تحت تأثیر قرار داده و ساختارهایی با روندهای جدید در آن به وجود آورده است. این حرکت، فشاری با روند عمومی شمال-شمال خاور به ایران مرکزی وارد کرده است. Hempton از مقایسه سوی حرکت صفحه عربی در زمان الیگوسن-میوسن و حال حاضر نتیجه می‌گیرد که سوی حرکت صفحه عربی در طول زمان، کمی تغییر کرده است. به گونه‌ای که روند حرکت این ورق از N00° در الیگوسن-میوسن به N10° در عهد حاضر رسیده است.

البته این اندازه گیری‌ها توسط دیگران نیز انجام شده است. Pichon et al. (1988) روند حرکت صفحه عربی به سوی اوراسیا را در ائوسن N15° و در میوسن N19° می‌دانند. Cochran (1983) نیز روند حرکت صفحه عربی را بر پایه قطب چرخش نقاط خاصی محاسبه کرده است و متوسط آن را N32° می‌داند. احتمالاً نتیجه محاسبه سوی فشارش عهد حاضر وارد به منطقه مورد مطالعه که بخش کوچکی از ایران مرکزی به شمار می‌رود، تأیید کننده راستای صفحه عربی به سوی اوراسیاست. برای به دست آوردن سوی دقیق فشارش افقی در منطقه مورد مطالعه و مقایسه آن با سوی عمومی می‌داند. این به طور ممکن است این ورق از همان گونه که در مقدمه اشاره شد، موقعیت بردار میانگین محورهای فشارش در هر ایستگاه به طور جدا (شکل ۴) و سپس برای هر گسل محاسبه شده است. برای محاسبه سوی عمومی فشارش در کل منطقه، بردار میانگین محورهای تنفس فشارشی (P) برای کل منطقه محاسبه شده (شکل ۱۰-الف) و بدین صورت ارائه می‌شود: (P: 21/208).

۴-۱. مقایسه مؤلفه‌های تنفس حاصل از تجزیه بردار میانگین P

همان گونه که در شکل ۱۰-ب مشخص شده است، روند عمومی گسل‌های منطقه N12° است. این روند عمومی در مورد همه ساختارهای موجود در منطقه اعم از سطح محوری چین‌ها و گسل‌ها صادق است. شکل ۶-الف به خوبی نشان می‌دهد که دو گسل امتدادلوز ایندس و تفرش با یکدیگر همپوشانی دارند و این همپوشانی سبب وارد آمدن تنفس برخی به منطقه همپوش شده است. راستای برخی از چین‌ها در فضای همپوشانی آنها تحت تأثیر تنفس برخی چرخیده است، در صورتی که روند برخی دیگر از ساختارها موازی راستای برخ است. این در حالی است که دو گسل یادشده در بخش قابل توجهی از طول خود با یکدیگر همپوشانی دارند. با توجه به

مذاب و به سطح رسیدن آنها در دخان شده‌اند به بررسی‌های دقیق تر نیاز دارد ولی به هر حال خروج این گذازه‌ها و روند خطی بروزد مخروط‌های آتش‌شانی نمایانگر ارتباط مستقیم و مسلم آنها با کشش‌های محلی ناشی از پهنه برشی راست‌گرد در منطقه است.

۵- نشانه‌های ستبرشدنگی سازند قم در دخان

تغییر چشمگیر و ناگهانی ستبرای رسوبات در یک منطقه، تأثیراتی به همراه خواهد داشت. ستبرشدنگی سازند قم در ناحیه دخان نیز، با شواهدی همراه است که عبارتند از شواهد چینه‌شناسی و شواهد ساختاری. پیش‌تر به شواهد چینه‌شناسی اشاره شد و اکنون شواهد ساختاری بیان می‌شود.

آرایش و تراکم چین خوردگی نشان‌دهنده ستبرای زیاد رسوبات سازند قم در ناحیه دخان نسبت به نواحی پیرامون است. دو عامل مهم می‌تواند به طور مستقیم در طول موج چین خوردگی تأثیرگذار باشد (Ramsay, 1967) که شامل گرانزوی (M₁) یعنی مقاومت توده سنگ در برابر جریان یافتن و سترا (t). بر پایه آنچه در بروزد و آزمایش‌های تجزیی دیده شده است، هرچه گرانزوی لایه‌ای بیشتر باشد، طول موج چین خوردگی در آن بیشتر خواهد بود. آزمایش‌ها در شرایطی انجام می‌شوند که ستبرای دو لایه یکسان ولی گرانزوی آنها متفاوت است. در مورد عامل سترا (t)، باید گفت که هرچه لایه ستبری باشد (در صورت مساوی بودن گرانزوی)، طول غالب در آن لایه بیشتر خواهد بود. در ابظه ای که برای نشان دادن تأثیر عوامل یادشده در طول موج غالب تعریف شده است، تأثیر ستبرای بسیار بیشتر از تأثیر گرانزوی است. به دلیل متغیر بودن طول موج چین‌ها، در ابظه زیر به جای طول موج ثابت، طول موج غالب (طول موج‌هایی که در چین خوردگی بیشتر تکرار شده‌اند) قرار می‌گیرد.

$$W_d = 2\pi t \sqrt{\left(\frac{M_1}{6M_2}\right)^3}$$

که در آن W_d طول موج غالب، M_1 ستبرای لایه، M_2 گرانزوی لایه و t گرانزوی لایه‌های کناری است.

رابطه بالا نشان می‌دهد که تأثیر ستبرای بر طول موج غالب چین‌ها بسیار بیشتر از تأثیر گرانزوی است. شکل ۱۲ به خوبی نشان می‌دهد که با افزایش ستبرای، طول موج چین‌ها افزایش می‌باید. در منطقه دخان و پیرامون آن، سطح محوری چین‌های بسیاری به چشم می‌خورد (شکل ۴). تقریباً همه چین‌های منطقه دخان و پیرامون آن، محدود به فضای میانی دو گسل ایندس و تفرش هستند و تراکم آنها در کنار گسل تفرش بیش از دیگر بخش هاست. در بخش مرکزی منطقه مورد مطالعه، تأثیرگذار دخان به تنهایی فضای زیادی را به خود اختصاص داده است. به گونه‌ای که یال شمالی آن تا مرز گسل ایندس ادامه دارد. این در حالی است که در جنوب خاوری تأثیرگذار دخان، چین‌های بسیاری دیده می‌شود.

نقشه هم ستبرای سازند قم در منطقه مورد مطالعه (شکل ۳)، نشان‌دهنده کاهش شدید ستبرای رسوبات سازند قم در ۱۲ کیلومتری جنوب تأثیرگذار دخان (روستای گزاوند) است. شواهد ساختاری نیز با این کاهش آشکار ستبرای سازگار است و آن را تأیید می‌کند؛ چرا که طول موج غالب چین‌ها در یال جنوبی تأثیرگذار دخان بسیار کم و تراکم چین خودگی بسیار زیاد است (شکل ۴). در حالی که در یال شمالی این تأثیرگذار که بیشترین ستبرای آن گزارش شده است اثر سطح محوری چین دیگری وجود ندارد. بنابراین، شواهد ساختاری کاهش ناگهانی و شدید ستبرای رسوبات مارنی سازند قم را در یال جنوبی تأثیرگذار نمی‌کند. به گونه‌ای که در طول فاصله افقی ۱۲ کیلومتر، ستبرای این رسوبات از ۳۶۰۰ متر به ۳۷۰ متر کاهش می‌باید (شکل ۲). از سوی دیگر تغییرات گرانزوی در همه منطقه، بدليل پوشیده شدن منطقه از رسوبات سازند قم، بسیار ناچیز است. بنابراین نمی‌توان تفاوت آشکار طول موج و در نتیجه تراکم چین‌های منطقه را ناشی از تغییرات گرانزوی دانست. کم بودن

می‌دهد. ولی اثر سطح محوری دیگر چین‌ها مانند تأثیرگذار دخان، ناودیس جفتان و چین‌های کناری گسل تفرش با روند گسل‌های اصلی موازی است و در راستای آنها انحصاری به چشم نمی‌خورد (شکل ۴). با توجه به راست‌گرد بودن دو گسل تفرش و ایندس و همپوشانی این دو گسل در منطقه مورد مطالعه، انتظار می‌رود ساختارهای مرتبط با پهنه برشی راست‌گرد در منطقه دیده شوند. افزون بر صحرا، خمیدگی آشکار اثر سطح محوری ناودیس مرق و گسل عزالدین، گواهی گویا بر کنش مؤلفه برشی راست‌گرد و تأثیرپذیری ساختارها از این برش است. در پهنه برشی راست‌گرد، اثر سطح محوری چین‌ها شکل ۵ مانند دارد. بنابراین اشکل بودن اثر سطح محوری ناودیس مرق و گسل عزالدین، راست‌گرد بودن دو گسل تفرش و ایندس را تأیید می‌کند (شکل ۱۱-ج). به عبارت دیگر خمیدگی این ساختارها نشانه چرخش محورهای دگرگشکلی است. بنابراین می‌توان دگرگشکلی حاکم بر محل همپوشانی گسل‌های تفرش و ایندس را از نوع برش ساده دانست.

الگوی تغییر شکل شکستگی‌های مرتبط با دگرگشکلی برشی، گسترش انواع شکستگی‌های R, R', P, D و T را نشان می‌دهد. راستای کلی شکستگی‌های اصلی در منطقه مورد مطالعه N1۳۰° بدست ۱۳۰ آمده است. با توجه به روند عمومی N1۳۰° ساختارها در پهنه ارومیه- دختر (نوگل سادات، ۱۳۶۴) و تحلیل ساختاری منطقه دخان، الگوی شکل ۱۱-ج با منطقه مورد مطالعه همخوانی دارد. ولی تنها دگرگشکلی برشی ساده برای بیان تغییر شکل‌های حاکم بر منطقه دخان کافی نیست. چنانچه نوگل سادات (۱۳۶۴)، شکل‌گیری ساختارهای کنونی ایران و بهویژه پهنه ساختاری ارومیه- دختر را ناشی از کنش همزمان نسبت های متفاوتی از فشردگی و جابه‌جایی برشی می‌داند. منطقه دخان هم به عنوان بخشی از پهنه ارومیه- دختر از این قاعده مستثنی نیست. مایل بودن راستای عمومی گسل‌های منطقه دخان نسبت به سوی عمومی تنش فشاری، سبب جابه‌جایی راستالغاز راست‌گرد در گسل‌های بزرگ تفرش، ایندس و تلخاب شده است. به گونه‌ای که محور چین‌ها در محل همپوشانی دو گسل تفرش و ایندس مانند ناودیس مرق، به علت فشردگی در ابتداء راستای E-W دارند و لی پس از جابه‌جایی برشی راست‌گرد گسل‌های کناری، تغییر روند می‌دهند و در ادامه راستای NW-SE NW-SE پیدا می‌کنند. به این دلیل است که راستای گسل‌ها و اثر سطح محوری چین‌های منطقه شکل ۵ مانند دارند. از سوی دیگر اختلاف روند دو گسل تفرش و ایندس و نیز تجزیه بردار میانگین‌های فشارش، سبب تحمیل مؤلفه تنش فشاری به منطقه دخان شده است. بنابراین چه گفته شد، ساختارهای منطقه دخان تحت تأثیر رژیم رنشی از نوع ترافشارشی (Transpressional Stress regime) به وجود آمده‌اند. مخروط‌های آتش‌شانی دخان در امتداد خطی با روند ۱۷۵° قرار گرفته‌اند. روند یادشده نمایانگر راستای شکستگی‌های نوع T است (اصفهانی نزد، ۱۳۷۷). شکل ۱۱-ج. شکل ۴ نشان می‌دهد که روند خطی این مخروط‌ها راستای گسل ایندس را قطع می‌کند. این مسئله نشان می‌دهد که کشش‌های منطقه دخان تنها تحت تأثیر کشن گسل‌های تفرش و ایندس نیست. گسل‌های بسیار بزرگی در شمال و جنوب منطقه مورد مطالعه و موازی با راستای عمومی گسل‌های منطقه وجود دارند که کنش آنها می‌تواند تشدید کننده کشش‌های محلی در منطقه دخان باشد. گسل کوشک نصرت در شمال گسل ایندس و گسل تبرئه در جنوب گسل تلخاب و موازی با آنها قرار دارند و هر دو دارای مؤلفه راستالغاز راست‌گرد هستند. اگر گسل‌های بزرگ کوشک نصرت و تبرئه مزدیه این پهنه برشی در نظر گرفته شوند، گسل‌هایی مانند تنش برشی را می‌توان گسل‌هایی از نوع D دانست که سازوکاری همانند گسل‌های اصلی می‌تواند برشی دارند. بدین ترتیب می‌توان قطع شدن راستای گسل ایندس توسط روند خطی مخروط‌های آتش‌شانی را توجیه کرد. البته باید گفت کشش ناشی از تنش برشی در پهنه گسل‌هایی از نوع D تشدید کشش‌های ناشی از پهنه برشی اصلی میان گسل‌های کوشک نصرت و تبرئه تشدید کشش‌های ناشی از پهنه برشی اصلی میان گسل‌های کوشک نصرت و تبرئه در منطقه دخان شده است. گرچه شناخت نوع شکستگی‌هایی که سبب خروج مواد

را تأیید کرد. به گونه‌ای که اثری از گسلاش یا چین خوردگی در محل اندازه‌گیری مقطع چینه شناسی' BB دیده نشد. از سوی دیگر تغییرات طول موج چین خوردگی سازند قم در منطقه دخان، داده‌های چینه شناسی را -تغییرات شدید ستبر- تأیید می‌کند. این تغییرات ستبر به احتمال قوی به دلیل پایین رفتن کف حوضه رسوی دریای قم در منطقه دخان بوده است؛ چرا که تغییرات کلی سطح آب دریاه، ستبرای رسویات را به طور همه‌گیر و در همه جا افزایش می‌دهد. به نظر می‌رسد محیط رسوی دیرین سازند قم در منطقه دخان تحت تأثیر گسل‌های اصلی منطقه و کشن همزمان با رسوب گذاری آنها، سبب تغییرات شدید ستبر است که در فواصل کوتاه شده است.

- الگوی چیره شکستگی‌های منطقه مورد مطالعه با الگوی پهنه برشی راست گرد با راستای N130° (شکل ۱۱-ج) همخوانی دارد. با توجه به قطع شدن راستای گسل ایندس توسط روند خطی مخروط‌های آتش‌فشانی دخان، که دقیقاً همخوان با راستای شکستگی‌های کششی مورد انتظار در یک پهنه برشی راست گرد با راستای N130° است و حضور گسل‌های بزرگ دیگری مانند گسل کوشک نصرت در شمال گسل ایندس و تبره در جنوب گسل تلخاب، می‌توان همه منطقه مورد مطالعه را جزیی از پهنه برشی دو گسل بزرگ‌تر کوشک نصرت و تبره دانست و گسل‌های تفرش و ایندس را گسل‌هایی از نوع D در پهنه برشی آنها در نظر گرفت.

سپاسگزاری

نگارنده‌گان از دانشگاه تربیت مدرس برای فراهم آوردن محیط مناسب برای این پژوهش در چهارچوب پایان‌نامه کارشناسی ارشد، از همه بزرگوارانی که در به انجام رسیدن این پژوهش یاری رسانیدند و از راهنمایی‌ها و یاری‌های آقای دکتر یساقی و اساتید گرانقدر داشکده زمین‌شناسی دانشگاه تهران، جناب آقای دکتر الیاسی، جناب آقای دکتر امینی و دیگر اساتید محترم سپاسگزاری می‌کنند.

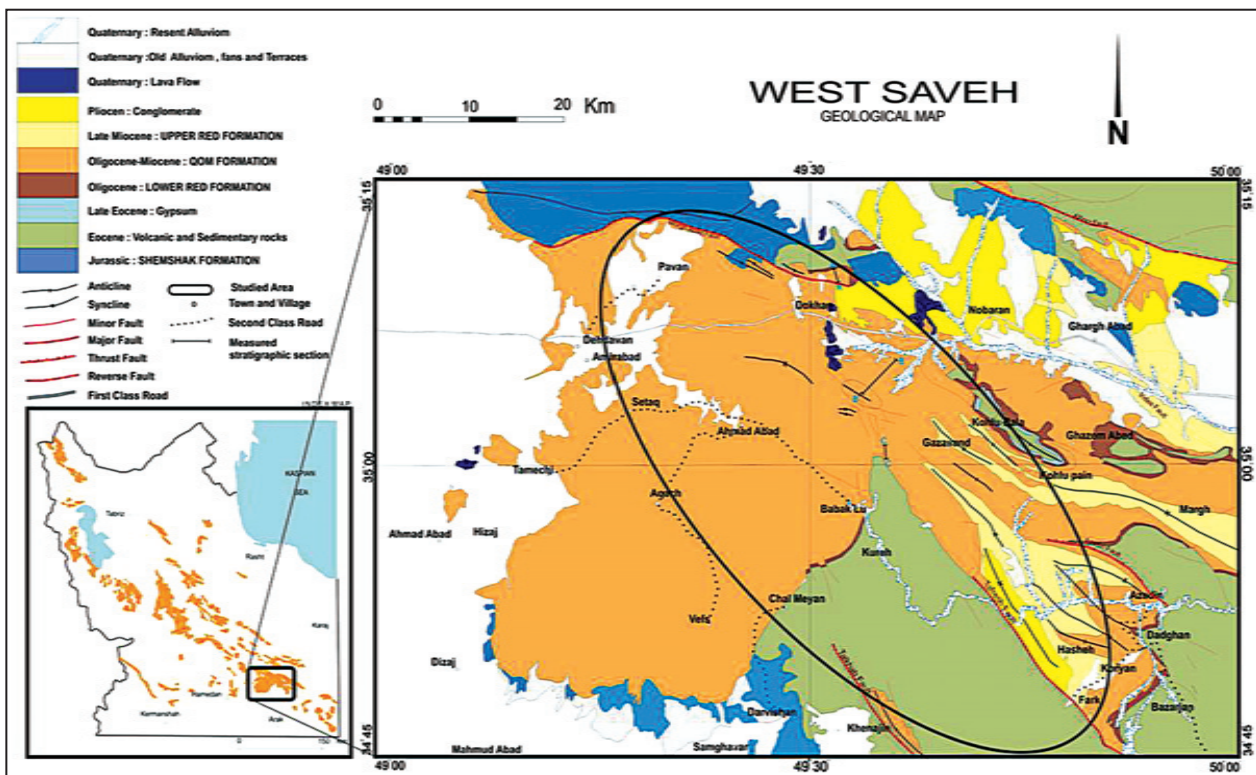
طول موج غالب چین‌ها در کنار گسل تفرش دلیل دیگری هم دارد و آن حضور تنش‌های فشاری ناشی از تجزیه تنش برشی گسل تفرش به دلیل موازی نبودن راستای گسل‌های تفرش و ایندس و تجزیه بردار میانگین P است. این در حالی است که طول موج غالب چین‌های دیگری مانند ناودیس مرق، با وجود ستبرای کمتر سازند قم، به دلیل دریافت نکردن تنش‌های فشاری، بیش از طول موج غالب چین‌های کناری گسل تفرش است (شکل ۴).

۶- نتیجه‌گیری

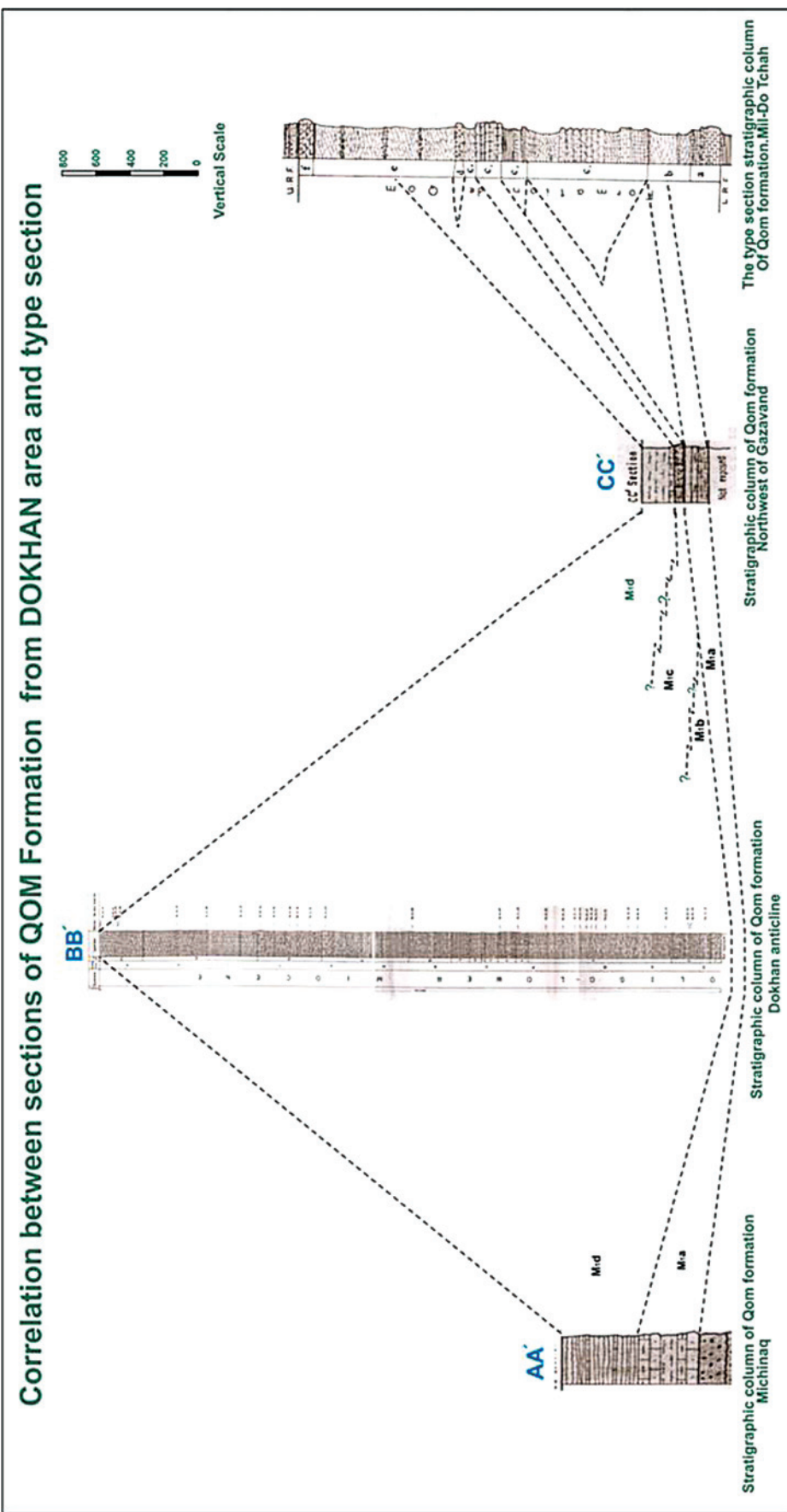
- تحلیل هندسی و جنبشی گسل تفرش نشان می‌دهد این گسل با راستای کلی N14°، شب به سوی جنوب باخته و سازوکار وارون با مؤلفه راستالغز متوسط راست گرد دارد. گسل تفرش در تغییرات ژرفای حوضه رسوی قم و چگونگی چین خوردگی رسویات سازند قم در ناحیه دخان و تکوین این حوضه رسوی تأثیر داشته است. زیرا تفاوت آشکاری میان ستبرای رسویات این سازند و روند ساختارها در دو سوی گسل تفرش دیده می‌شود.

- با توجه به روند عمومی ساختارها در پهنه ارومیه- دختر و تحلیل ساختاری منطقه دخان، الگوی ساختارهای منطقه مورد مطالعه با الگوی ساختارها در یک پهنه برشی راست گرد با راستای کلی N130° همخوانی دارد. ولی تنها دگر شکلی برشی ساده برای بیان شکل‌های حاکم بر منطقه دخان کافی نیست؛ چرا که مایل بودن راستای عمومی گسل‌های منطقه نسبت به سوی عمومی فشارش (شکل ۱۱-الف)، سبب جایه‌جایی راستالغز راست گرد در گسل‌های بزرگ تفرش، ایندس و تلخاب و تحمیل دو مؤلفه تنش برشی و فشاری بر منطقه شده است. به گونه‌ای که گونه‌ای که ساختارها در محل همپوشانی دو گسل تفرش و ایندس مانند ناودیس مرق، شکل کمانند دارند. از سوی دیگر اختلاف روند دو گسل تفرش و ایندس سبب تحمیل مؤلفه تنش فشاری دیگری به منطقه دخان شده است. بنا بر آنچه گفته شد، ساختارهای منطقه دخان تحت تأثیر تراfasiarش به وجود آمده‌اند.

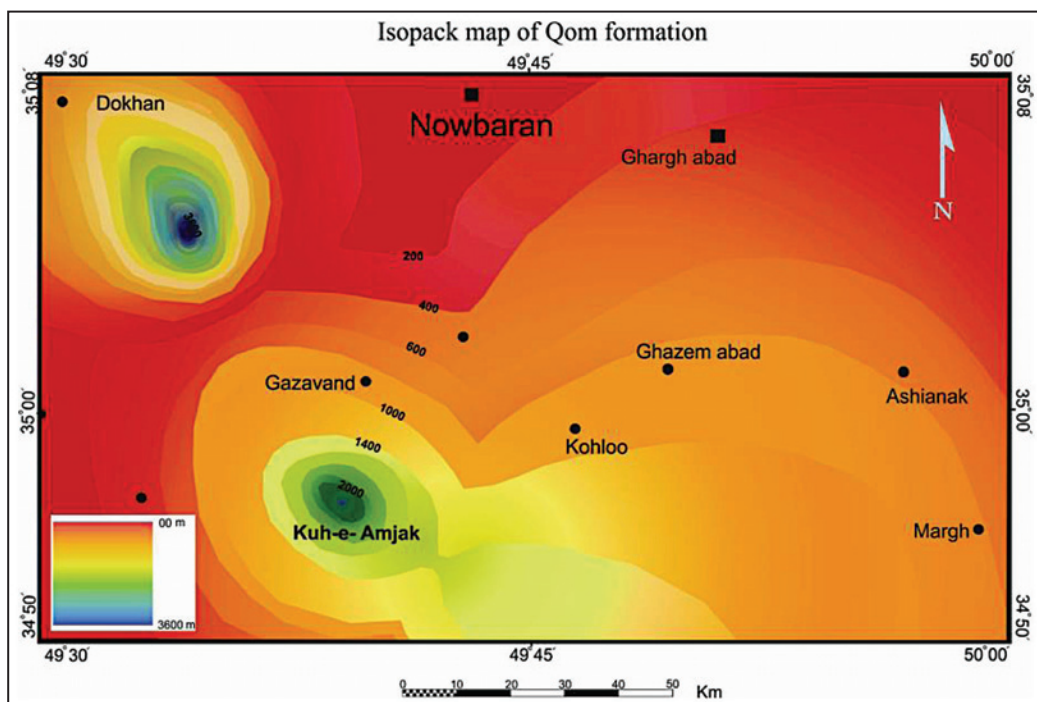
- بازدیدهای صحرایی از منطقه دخان، درستی اندازه‌گیری مقطع چینه شناسی' BB



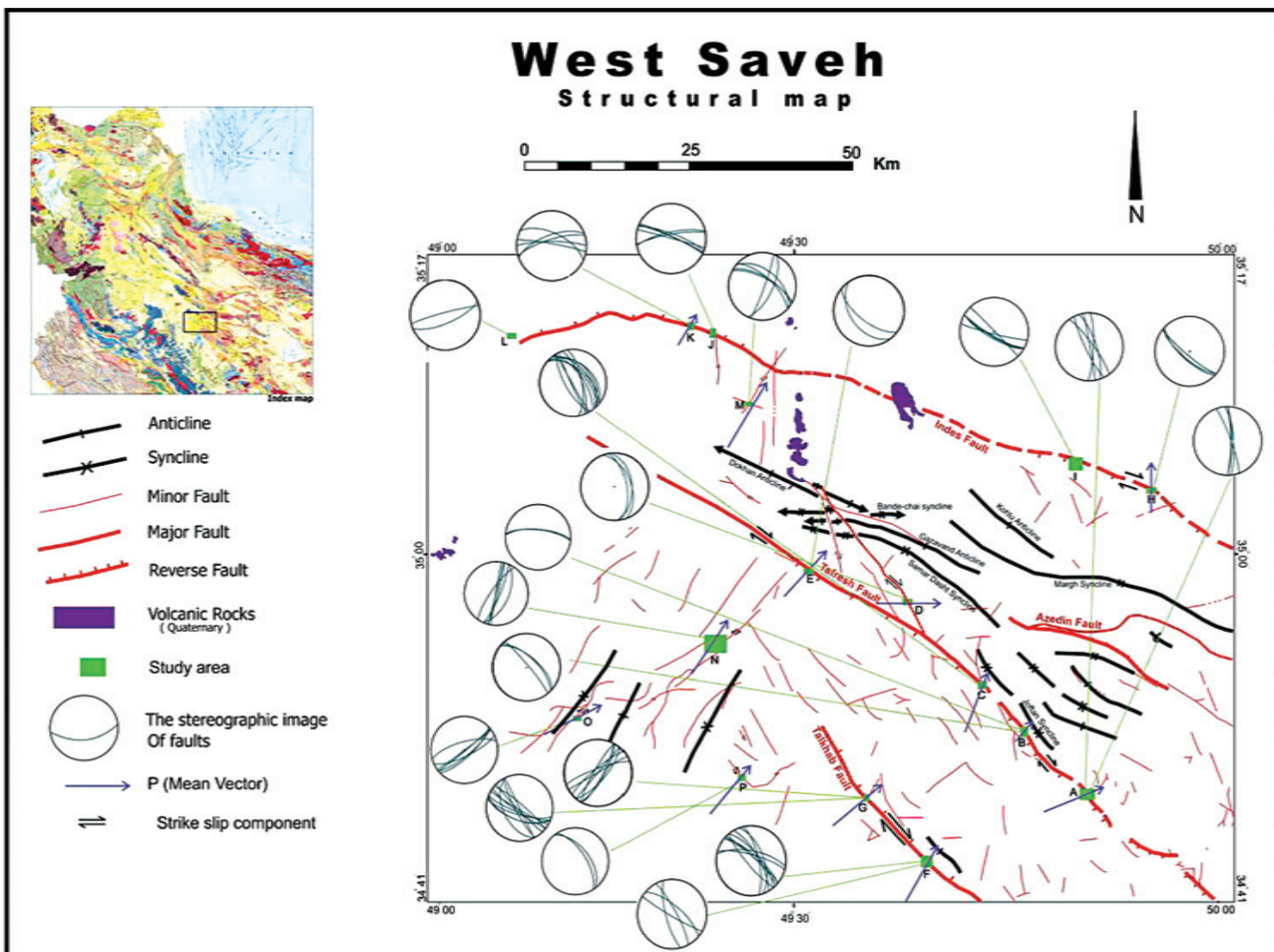
شکل ۱- نقشه زمین‌شناسی منطقه دخان و پیرامون آن که بر پایه نقشه‌های زمین‌شناسی ۱:۲۵۰۰۰ قم، ساوه، همدان و کبود‌آهنگ تهیه شده است.



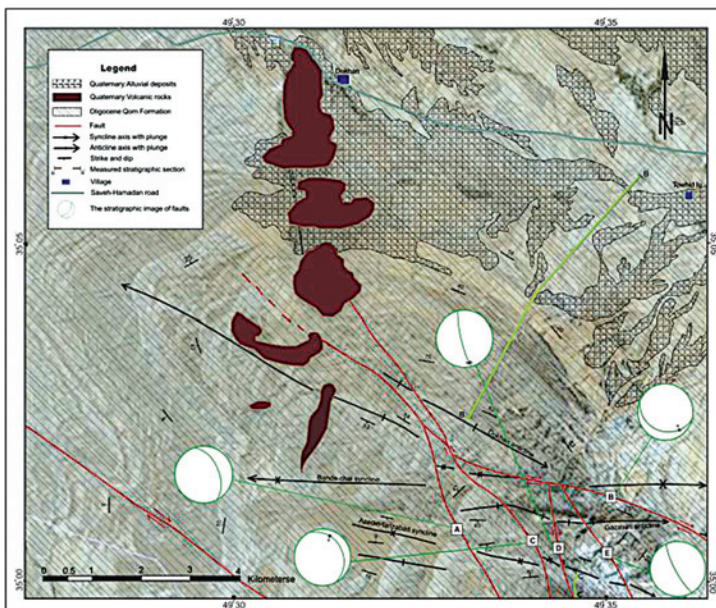
شکل ۲- همارزی چینه‌شناسی سازند قم میان ناحیه الگو و منطقه دخان، برگرفته از نوگل سادات (۱۳۶۴) و وحدتی دانشمند (۱۳۵۴).



شکل ۳- نمودار کنتوری تغییرات سطحی سازند قم در ناحیه دخان و پیرامون آن که برایه میزان سطحی این سازند در مطالعات امامی (۱۳۷۰)، بغدادی (۱۳۵۹)، بلورچی (۱۳۵۸)، رادف و همکاران (۱۳۸۵)، وحدتی دانشمند (۱۳۵۴) و یزدانی (۱۳۸۵) تهیه شده است.

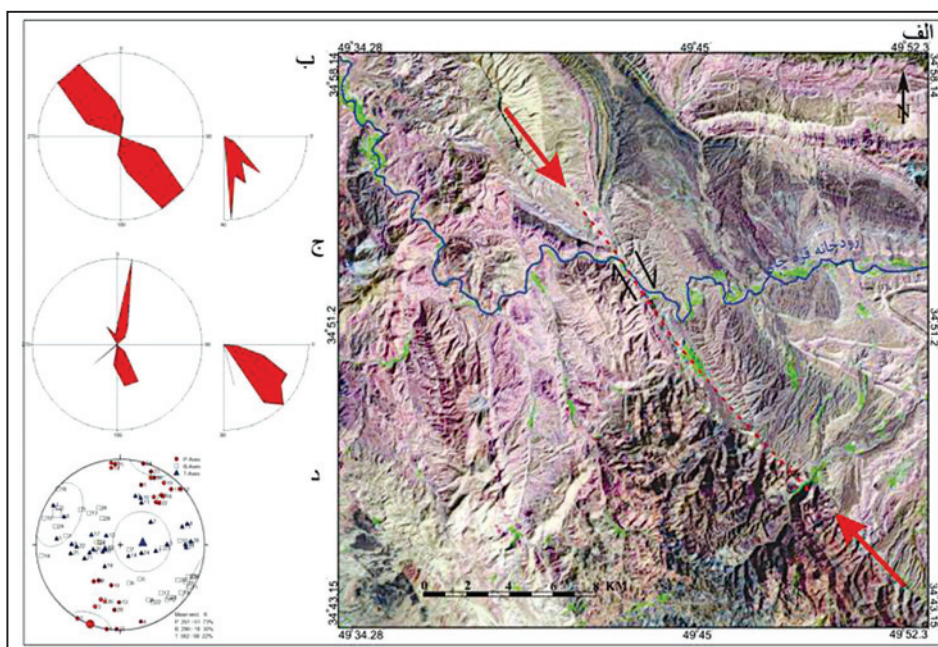
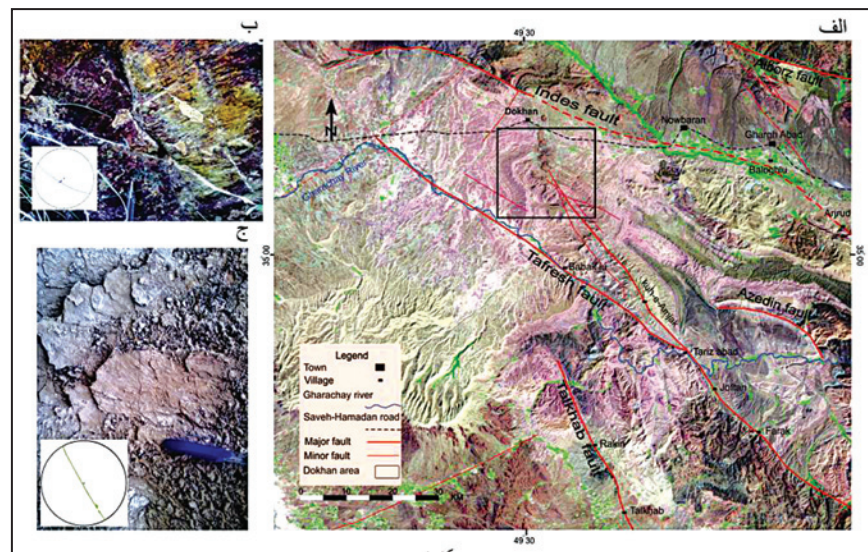


شکل ۴- نقشه ساختاری منطقه دخان و پیرامون آن.

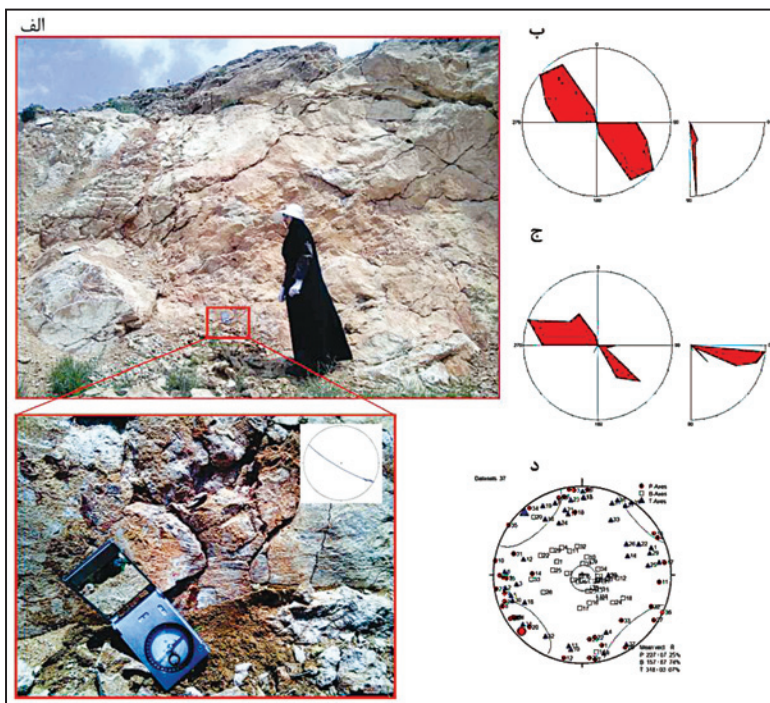


شکل ۵- نقشه ساختاری منطقه دخان.

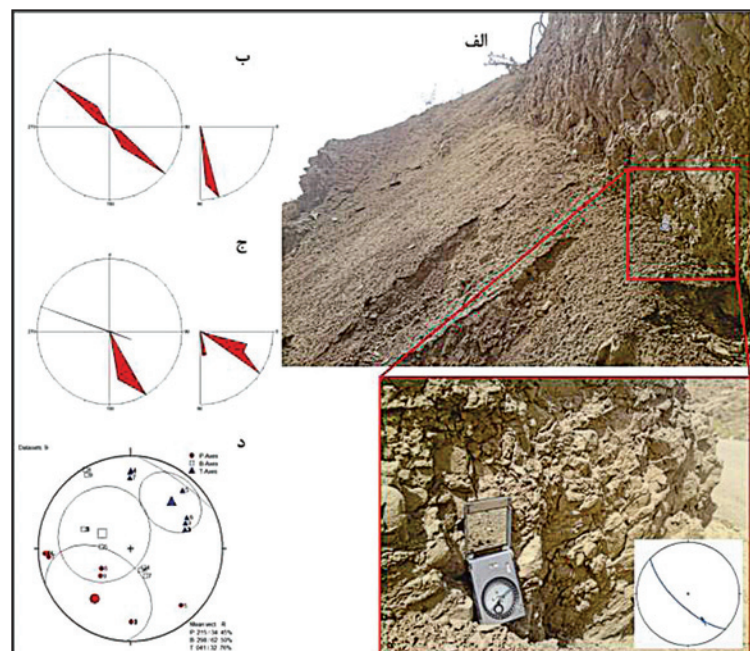
شکل ۶- الف) تصویر ماهواره‌ای منطقه دخان و گسل‌های پیرامون آن. مستطیل سیاه‌رنگ نشانگر موقعیت شکل ۵ است؛ ب) تصویر خش‌لغزش گسل تفرش در ایستگاه B و تصویر استریوگرافیک گسل برداشت شده در این موقعیت؛ ج) خش‌لغزش گسل تفرش روی کنگلومراهای پلیوسن در ایستگاه C (شکل ۴).



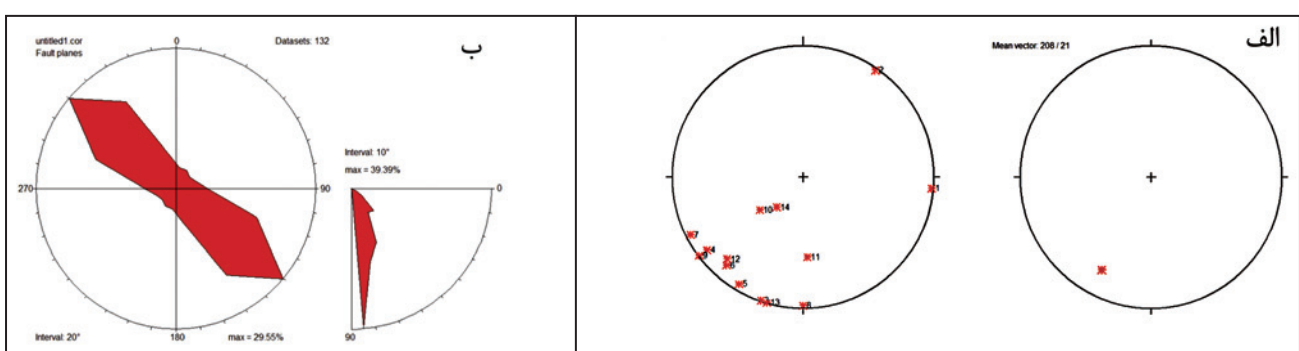
شکل ۷- الف) جایه‌جایی راست‌گرد رودخانه قره‌چای در راستای گسل تفرش؛ ب) نمودار گل‌سرخی مربوط به صفحه گسل تفرش که نشانگر امتداد چهاره (ج) نمودار گل‌سرخی خطوط لغزشی گسل تفرش. زاویه میل خش‌ها نشانه متوسط بودن مؤلفه راستالغاز است؛ (د) تصویر استریوگرافیک محورهای فشار و کشش گسل تفرش. افقی بودن محور فشارش و زاویه میل زیاد محور کشش، نشانه وارون بودن گسل تفرش است.



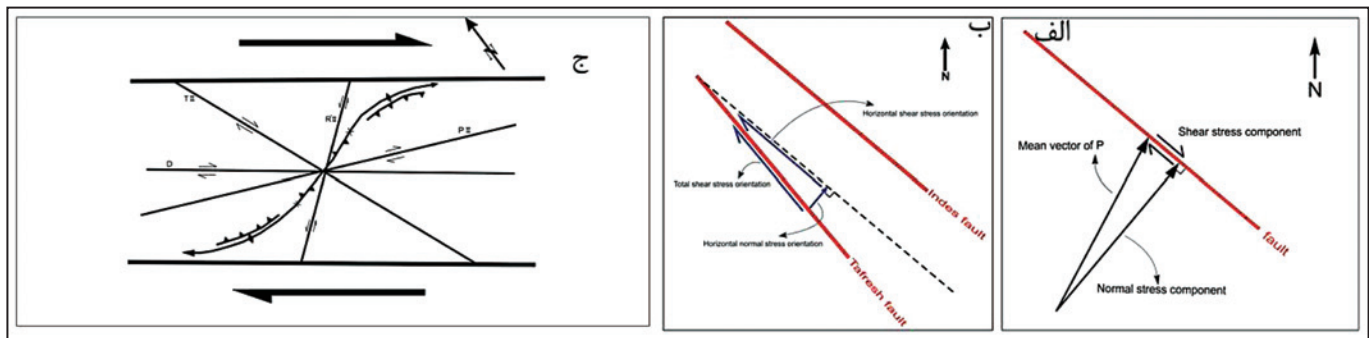
شکل ۸- الف) پهنه گسل تلخاب و خش لغزش آن در استگاه G؛ ب) نمودار گل سرخی مربوط به موقعیت گسل تلخاب که نشان‌دهنده امتداد کلی N۱۳۰° و شیب ۸۰° تا ۸۵° است؛ ج) نمودار گل سرخی خطوط لغزشی گسل تلخاب. زاویه میل خش لغزها نشان می‌دهد که مؤلفه راستالغز گسل تلخاب بزرگ است؛ د) تصویر استریوگرافیک محورهای تنش گسل تلخاب. زاویه میل کم محورهای P و T و قائم بودن تقریبی محور B نشانگر حرکت راستالغز گسل تلخاب است.



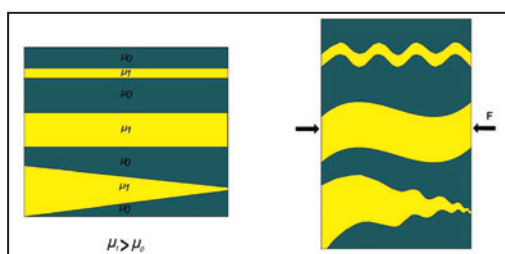
شکل ۹- الف) برش گسلی پهنه گسل ایندس و خش لغزش آن در استگاه H (ارجرود؛ ب) نمودار گل سرخی موقعیت گسل ایندس؛ ج) نمودار گل سرخی خطوط لغزشی گسل ایندس. زاویه میل خطوط لغزشی گسل ایندس نشان می‌دهد مؤلفه راستالغز این گسل متوسط است؛ د) تصویر استریوگرافیک محورهای تنش گسل ایندس.



شکل ۱۰- الف) تصویر استریوگرافیک بردار میانگین محورهای فشارش (P) مربوط به استگاههای برداشت که در شکل ۴ نیز روی موقعیت هر استگاه به نمایش در آمده است بهمراه تصویر استریوگرافیک بردار میانگین محور فشارش کل منطقه؛ ب) نمودار گل سرخی راستای گسل‌های برداشت شده در کل منطقه که نشانگر امتداد چیره N۱۳۰° و شیب غالب ۸۰° تا ۸۵° است.



شکل ۱۱- (الف)، تصویر نمادین تجزیه بردار میانگین فشارش وارد بر روند عمومی به دست آمده از گسل‌ها در منطقه مورد مطالعه. موقعیت گسل و بردار P بر پایه داده‌ها به ترتیب $N130^{\circ}$ و $N20.8^{\circ}$ است. به اندازه کوچک بردار مؤلفه تنش برشی نسبت به بردار مؤلفه تنش فشاری توجه شود؛ (ب) تصویر نمادین تجزیه بردار تنش برشی گسل تغییرش به مؤلفه‌هایش در راستای موازی با گسل ایندست؛ (ج) خمیدگی اثر سطح محوری چین‌ها و گسل‌ها و موقعیت شکستگی‌های سامان‌مند در پهنه برشی راست‌گرد (برگرفته از نوگل سادات، ۱۳۶۴).



شکل ۱۲- تأثیر ستبرای در طول موج غالب. در صورت ثابت بودن گرانزوی، هرچه لایه‌ای ستر تر باشد، طول موج غالب چن خودگی آن بیشتر است.

کتابنگاری

- اصفهانی نژاد، م.، ۱۳۷۷- مطالعه پترولوزی- زمین ساختی گذازه‌های اولترامافیک قلایی کواترنر باختر ساوه- کبودراهنگ، پایان‌نامه کارشناسی ارشد، دانشگاه تهران.
- امامی، م. و حاجیان، ج.، ۱۳۷۰- نقشه زمین‌شناسی چهارگوش قم، ۱:۲۵۰۰۰۰، سازمان زمین‌شناسی و اکتشافات معدنی کشور.
- امامی، م.، ۱۳۷۰، شرح نقشه زمین‌شناسی چهارگوش قم، ۱:۲۵۰۰۰۰، سازمان زمین‌شناسی و اکتشافات معدنی کشور.
- بغدادی، ا.، ۱۳۵۹- فسیل‌شناسی تشکیلات قم در غرب ساوه، پایان‌نامه کارشناسی ارشد، دانشگاه تهران.
- بلورچی، م. ح. و حاجیان، ج.، ۱۳۵۸- نقشه زمین‌شناسی ۱:۲۵۰۰۰۰ کبودراهنگ، سازمان زمین‌شناسی و اکتشافات معدنی کشور.
- بلورچی، م. ح.، ۱۳۵۸- پژوهش زمین‌شناسی چهارگوش ۱:۲۵۰۰۰۰، کبودراهنگ شماره D، سازمان تحقیقات زمین‌شناسی و معدنی کشور.
- رادفر، ج. و کهنسال، ر.، ۱۳۸۳- نقشه زمین‌شناسی ۱:۱۰۰۰۰۰، سازمان زمین‌شناسی و اکتشافات معدنی کشور.
- رادفر، ج.، ۱۳۸۵- نقشه زمین‌شناسی ۱:۱۰۰۰۰۰ فرمین، سازمان زمین‌شناسی و اکتشافات معدنی کشور.
- سبزه‌ای، م.، مجیدی، ب.، عیمیدی، م.، علوی تهرانی، ن. و قرشی، م.، ۱۳۶۹- نقشه زمین‌شناسی ۱:۲۵۰۰۰۰ همدان، سازمان زمین‌شناسی و اکتشافات معدنی کشور.
- علایی مهابادی، س. و خلعتبری، ب. م.، ۱۳۸۳- نقشه زمین‌شناسی ۱:۱۰۰۰۰۰ نوبران، سازمان زمین‌شناسی و اکتشافات معدنی کشور.
- علایی مهابادی، س. و فودازی، م.، ۱۳۸۶- نقشه زمین‌شناسی ۱:۱۰۰۰۰۰ رزن، سازمان زمین‌شناسی و اکتشافات معدنی کشور.
- نوگل سادات، م. ع.، ۱۳۶۴- منطقه‌های برشی و خمیدگی‌های ساختاری در ایران (دستاوردهای تحلیل ساختاری ناحیه قم)، گزارش شماره ۵۵ سازمان زمین‌شناسی و اکتشافات معدنی کشور.
- نوگل سادات، م. ع.، هوشمندزاده، ع.، بهروزی، آ. و لطفی، م.، ۱۳۶۴- نقشه زمین‌شناسی ۱:۲۵۰۰۰۰ ساوه، سازمان زمین‌شناسی و اکتشافات معدنی کشور.
- وحدتی دانشمند، ف.، ۱۳۵۴- بررسی زمین‌شناسی و سنگ‌شناسی ناحیه دخان ۷۵ کیلومتری غرب ساوه، پایان‌نامه کارشناسی ارشد، دانشگاه تهران.
- یزدانی، ه.، ۱۳۸۵- میکروپیوستراتیگرافی فرامینیفرهای سازند قم در غرب ساوه، پایان‌نامه کارشناسی ارشد، دانشگاه تهران.

References

- Abaie, L., Ansari, H. J., Badakhshan, A. & Jaafari, A., 1964- History and development of the Alborz and Sarajeh fields of central Iran.Bull, No.15,pp561-574.
- Cochran, J. R., 1983- A model for development of red sea. The American association of petroleum geologists bulletin.N0.1, pp.41-69.
- Furrer, M. A. & Soder, P. A., 1955- The Oligo-miocene marine Formation in the Qom region (Central Iran), 4th world petroleum congress, Rom.
- Hempton, M. R., 1987- Constraints on Arabian plate motion and extensional history of the red sea.Bellaire research center Shell development Company. No.6, pp.687-705.
- Pichon, X., Bergerat, F. & Roulet, M. J., 1988- Plate kinematics and tectonics leading to the Alpine belt formation a new analysis. Geological survey of America. pp.111-131.
- Ramsay, J.G., 1967- Folding and fracturing of rocks. Mc Graw Hill. Ed. London, 568 p.

Structural Study and Influence of Thickness in Qom Formation on Geometry of the Structures, Dokhan Area, West Saveh

S. Khodaparast¹, M. Mohajjel^{2*} & S. Haj-Amini³

¹ M.Sc., Department of Geology, Tarbiat Modares University, Tehran, Iran

² Associate Professor, Department of Geology, Tarbiat Modares University, Tehran, Iran

³ Assistant Professor, School of Geology, College of Science, Tehran University, Tehran, Iran

Received: 2011 November 14

Accepted: 2012 September 03

Abstract

The marine facies of the Qom Formation was deposited between two detritus continental facies of the Lower and Upper Red Formations. The type section of the Qom Formation was observed in Qom city, but its most thickness has been reported from the Dokhan area in west Saveh. Stratigraphic studies revealed that its thickness has sudden changes in the Dokhan area through short distances. Geometry of the structures was strongly influenced by change of thickness in different rocks of the Qom Formation. The main question that has been answered in this study is what caused change of thickness in short distances. The geometry and kinematic observations of the major faults in the Dokhan area showed that their displacement style during sedimentation influenced on change of the thickness and folding style during deformation of the Qom Formation. This study showed that the Dokhan area is located in the extension termination of the NW-SE trending major strike-slip faults such as the Tafresh, Talkhab and Indus faults.

Keywords: Qom Formation, Dokhan, West Saveh, Strike-Slip Faults, Folding.

For Persian Version see pages 235 to 244

*Corresponding author: M. Mohajjel; E-mail: Mohajjel@modares.ac.ir